

the organisation of patterns of cardiohypothalamic function, Int. Symp. Calgary, 1975. Baroreceptor reflexes during the defence reaction.—Modulation of baroreceptor input.—The role of the carotid sinus baroreceptor in the hypothalamic defence area.—J. Physiol., 1975, 219, N 5, p. 1235—1241.

Brain influence on cardiac component of the carotid sinus baroreceptor response.—Amer. J. Physiol., 1975, 229, N 5, p. 1235—1241.

Interaction between the hypothalamic defence reaction and aortic blood flow as related to work load.—Amer. J. Physiol., 1970, 218, p. 386—392.

Control of the dog's brain. Sommerfield: A. Thoswell W. M. Summation of hypothalamic sympathetic efferent activity to heart and lungs.—J. Physiol., 1975, 253, N 1, p. 201—208.

Function of lateral reticular nucleus at the level of the brain stem.—Amer. J. Physiol., 1977, 232, N 2, p. 393—398.

of the defense reaction.—Amer. J. Physiol., 1975, 229, N 5, p. 1235—1241.

Interaction between the hypothalamic defence reaction and efferent mechanisms in cardiovascular system.—Acta physiol. scand., 1976, 96, N 4, p. 53.

Поступила в редакцию  
24.III 1978 г.

I. Krasnova

#### HYPOTHALAMIC AND BULBAR FUNCTIONS IN CARDIOVASCULAR CONTROL

hypothalamic stimulation was examined on anesthetized dogs both before and after stimulation of the main reflexogenic areas of the arterial pressure responses to stimulation of the heart rate changes. Total peripheral vasoconstrictive responses to stimulation of the sympathetic inhibitory area and suprarenal vasoconstrictive responses to stimulation of the heart rate changes. It is suggested that interaction between different hypothalamic areas may be mediated by the brain stem.

#### ФИЗИОЛОГИЧЕСКИЙ ЖУРНАЛ

УДК 612.181.2

С. А. Берштейн, О. В. Базилук, Л. Н. Шаповал

#### ОБ ИЗМЕНЕНИЯХ СИМПАТИЧЕСКОЙ АКТИВНОСТИ В ВОЛОКНАХ ПОЧЕЧНОГО И СЕЛЕЗЕНОЧНОГО НЕРВОВ ПРИ СТИМУЛЯЦИИ АЦЕТИЛХОЛИНОМ ГИГАНТОКЛЕТОЧНОГО РЕТИКУЛЯРНОГО ЯДРА

Гигантоклеточное ретикулярное ядро является местом выхода одного из основных нисходящих ретикулоспинальных путей, обеспечивающих передачу поступающей в продолговатый мозг информации к пре-гангилонарным симпатическим нейронам боковых рогов спинного мозга [9]. Поскольку стимуляция этого ядра сопровождается отчетливой реакцией системного артериального давления, изменением тонуса сосудов конечности и внутренних органов [1—4,8], то можно говорить о влиянии нейронов гигантоклеточного ядра на деятельность сердечно-сосудистой системы. Между тем, для изучения центральных механизмов регуляции кровообращения более предпочтительным является анализ импульсной активности в различных симпатических волокнах, участвующих в формировании той или иной гемодинамической реакции, при стимуляции центральных нервных структур.

Мы исследовали характер изменений активности в постгангилонарных волокнах почечного и селезеночного нервов при стимуляции ацетилхолином гигантоклеточного ретикулярного ядра.

#### Методика исследований

Исследование проведено на 22 кошках в остром опыте под хлоралозо-нембуталовым наркозом (50 мг/кг хлоралозы и 10 мг/кг нембутала, внутрибрюшинно, при искусственной вентиляции).

Голову животного фиксировали в стереотаксическом приборе СЭЖ-3 под углом 45° к горизонтальной оси. Стереотаксические координаты исследуемого участка гигантоклеточного ретикулярного ядра: 4,0—5,0 ммrostрально obex, 1,5—2,0 мм латерально от средней линии, 3,0—4,0 мм ниже уровня obex. Вводили 1—2 мкг хлористого ацетилхолина в 0,005—0,01 мл физиологического раствора.

Петроперитонально между 3—5 поясничными позвонками выделяли левую почку, а после вскрытия на небольшом протяжении брюшины — селезенку. Одну из ветвей почечного и селезеночного нерва перевязывали, отпрепаровывали и перерезали. Импульсную активность исследуемых нервов регистрировали с помощью биполярных серебряных электродов, подключенных на вход усилителя биопотенциалов УБП-1-02, сигнал с которого подавался на магнитофон и трехканальный катодный осциллограф ВЭКС-4М с усилителем постоянного тока и фотозаписью. Во избежание подсыхания нервов оперативное поле заливали парафином и подогретым вазелиновым маслом. Синхронно с нервограммой с помощью тензометрического датчика и усилителя ТА-5 в бедренной артерии регистрировали системное артериальное давление (САД). Частоту сердечных сокращений (ЧСС) рассчитывали по пульсовым колебаниям артериального давления. Результаты обрабатывали вариационно-статистическим методом с учетом критерия Стьюдента для оценки достоверности отличий.

#### Результаты исследований и их обсуждение

В естественных условиях импульсная активность в почечном и селезеночном нервах носит типичный для постгангилонарных симпатических волокон характер групповых разрядов («залпов»), чередующихся с пе-

риодами их отсутствия (межзаплывое торможение) и синхронных с пульсовыми колебаниями артериального давления. При одинаковой продолжительности залпов в обоих нервах, их частота в селезеночном нерве была несколько больше, а амплитуда ниже, чем в почечном нерве (рис. 1, I; A; II, A).

Стимуляция хлористым ацетилхолином (51 опыт) гигантоклеточного ретикулярного ядра в латеральной его части (2 мм от средней линии) в первые же секунды после микроинъекции сопровождалась отчетливо выраженным и однозначным увеличением импульсной активности в исследуемых нервах (рис. 1). Повышение интенсивности эффеरентных посылок достигалось в основном за счет увеличения частоты залпов (на 63% в почечном и 50% в селезеночном нервах) и сокращения межзаплывовых промежутков (почти вдвое в почечном и в 3,5 раза в селезеночном нервах). В меньшей степени (на 10–15%) возрастала максимальная амплитуда

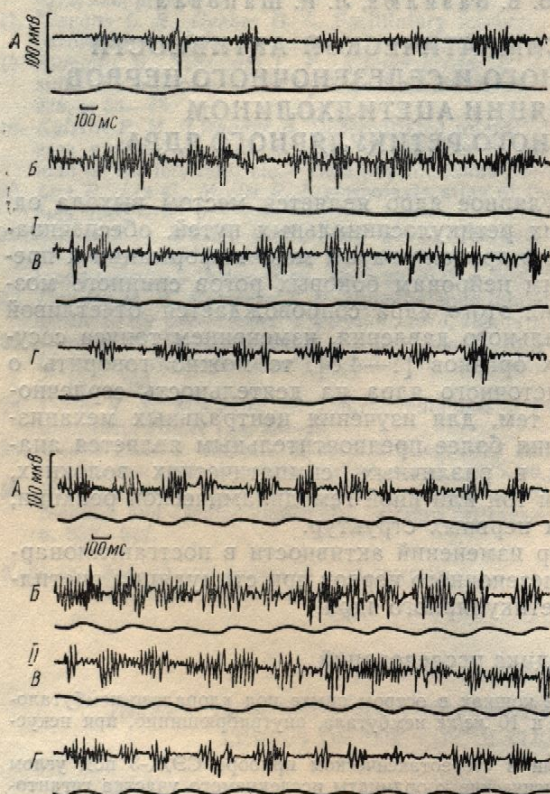


Рис. 1. Увеличение эффеरентной активности в почечном (I) и селезеночном (II) нервах при стимуляции ацетилхолином гигантоклеточного ретикулярного ядра.

A — до стимуляции, B — через 5 с, C — через 30 с, Г — через 2 мин после начала стимуляции. Вверху — нейограмма, внизу — САД.

залпов, их продолжительность изменялась незначительно (табл. 1, 2). К концу первой минуты в обоих нервах отмечалось постепенное ослабление импульсной активности и тенденция к ее нормализации. Через 2 мин после начала инъекции ацетилхолина в почечном нерве повышенный частотный уровень все еще сохранялся, значения остальных показателей не только нормализовались, но их уровень становился ниже исходного. В селезеночном нерве к этому времени восстанавливается только амплитудный компонент, продолжительность и частота залпов оставались достаточно высокими. Полное восстановление эффеरентной активности в обоих нервах, как правило, наблюдалось через 3–4 мин. Системное артериальное давление уже в первые секунды после инъекции ацетилхолина закономерно повышалось. Максимальная реакция отмечалась на 10-й с (на 30%).

Восстановление исходного уровня САД начиналось через 30 с после начала стимуляции. Частота сердечных сокращений изменялась незначительно, с тенденцией к увеличению.

Стимуляция медиального ядра (1,5 мм влево от депрессорной реакцией (9 га сердечных сокращений, начала стимуляции, а его через 1,5 мин (рис. 2, A). Их сразу после стимуляции частота залпов, их межзаплывовые промежутки, первые 10 с после начала активность в почечном нерве вернулся, обычно, восс

#### Изменения показателей центрального нерва при стимуляции аце

Исследуемые параметры	Статистические показатели	До стимуляции	
САД мм рт. ст.	M $\pm m$ p	120 $\pm 4,05$ —	1 $\pm 6$ $<0$
ЧСС уд/мин	M $\pm m$ p	157 $\pm 15,6$ —	1 $\pm 8$ $>0$
Частота залпов, в с	M $\pm m$ p	2,4 $\pm 0,1$ —	3 $\pm 0$ $<0$
Амплитуда мкВ	M $\pm m$ p	71,5 $\pm 6,8$ —	82 $\pm 4$ $<0$
Длительность залпов, мс	M $\pm m$ p	167,8 $\pm 9,1$ —	169 $\pm 9$ $>0$
Длительность торможения, мс	M $\pm m$ p	240,7 $\pm 16,2$ —	109 $\pm 1$ $<0$

Проведенные исследования гигантоклеточного ретикулярного ядра изменениями эффеरентных почечного и селезеночного нервов позволяет говорить о привлечении деятельности кровообращения активности в симпатической нервной системе общего гемодинамической ре

При незначительных изменениях активности в почечном нерве (рис. 4).

Неоднозначность изменения активности в исследованных нервах

торможение) и синхронных сокращений. При одинаковой продолжительности сокращений в почечном нерве ниже, чем в селезеночном нерве (51 опыт) гигантоклеточного ядра (2 мм от средней линии) в первые же секунды после микроинъекции сопровождалась отчетливым выраженным и одновременным увеличением импульсной активности в исследуемых нервах (рис. 1). Повышение интенсивности эффеरентных посылок достигалось в основном за счет увеличения частоты залпов (на 63% в почечном и 50% в селезеночном нервах) и сокращения межзаполовых промежутков (почти вдвое в почечном и в 3,5 раза в селезеночном нервах). В меньшей степени (на 10–15%) возрастала максимальная амплитуда

Рис. 1. Увеличение эффеरентной активности в почечном (I) и селезеночном (II) нервах при стимуляции ацетилхолином гигантоклеточного ретикулярного ядра.

A — до стимуляции, B — через 5 с, C — через 30 с, D — через 2 мин после начала стимуляции. Вверху — нейрограмма, внизу — САД.

нялась незначительно (табл. 1), но в селезеночном нерве отмечалось постепенное сокращение к ее нормализации. Четырехкратное увеличение амплитуды в почечном нерве сохранялось, значения остальных параметров становились ниже, но их уровень становился выше, чем в селезеночном нерве, к этому времени восстанавливавшиеся длительность и частота залпов. В почечном нерве восстановление эффеरентной активности наблюдалось через 3–4 мин. в первые секунды после инъекции наблюдалось. Максимальная реакция

САД начиналась через 30 с после сокращений изменялась незначительно (табл. 1).

### Об изменениях симпатической активности

Стимуляция медиальных участков гигантоклеточного ретикулярного ядра (1,5 мм влево от средней линии) сопровождалась выраженной депрессорной реакцией (9 опытов). Незначительно уменьшалась частота сердечных сокращений. САД заметно снижалось уже через 5 с после начала стимуляции, а его восстановление, как правило, происходило через 1,5 мин (рис. 2, A). Импульсная активность в исследованных нервах сразу после стимуляции резко ослаблялась (рис. 2, B). Уменьшалась частота залпов, их продолжительность и амплитуда, возрастали межзаполовые промежутки. Наиболее значительными эти сдвиги были в первые 10 с после начала микроинъекции. В ряде случаев эффеरентная активность в почечном нерве практически исчезала (рис. 3, B). Исходный уровень, обычно, восстанавливался через 2–3 мин в обоих нервах.

Таблица 1

Изменения показателей центральной гемодинамики и импульсной активности почечного нерва при стимуляции ацетилхолином гигантоклеточного ретикулярного ядра

Исследуемые параметры	Статистические показатели	До стимуляции	Время после стимуляции					
			5 с	10 с	30 с	60 с	90 с	120 с
САД мм рт. ст.	M	120	143	153	154	148	145	132
	±m	±4,05	±6,38	±9,6	±11,21	±2,9	±2,9	±2,4
	p		<0,01	<0,01	<0,02	<0,02	<0,02	<0,05
ЧСС уд/мин	M	157	162	159	158	157	158	153
	±m	±15,6	±8,1	±15,7	±8,4	±12,3	±7,5	±16,4
	p		>0,5	>0,5	>0,5	>0,5	>0,5	>0,5
Частота залпов, в с	M	2,4	3,9	3,8	3,5	3,1	3,1	3,0
	±m	±0,1	±0,3	±0,3	±0,3	±0,2	±0,3	±0,3
	p		<0,001	<0,001	<0,01	<0,01	<0,05	<0,05
Амплитуда мкВ	M	71,5	82,4	82,1	75,4	74,3	68,8	65,5
	±m	±6,8	±4,3	±4,0	±5,1	±4,6	±7,2	±5,5
	p		<0,001	>0,2	>0,5	>0,5	>0,5	>0,5
Длительность залпов, мс	M	167,8	169,8	172,0	159,4	154,7	153,1	144,1
	±m	±9,1	±9,8	±9,6	±11,7	±12,1	±15,0	±20,5
	p		>0,5	>0,5	>0,5	>0,5	>0,5	>0,2
Длительность торможения, мс	M	240,7	109,6	114,5	143,7	170,6	185,5	198,6
	±m	±16,2	±18,0	±17,7	±17,4	±28,4	±30,6	±44,4
	p		<0,001	<0,001	<0,001	<0,05	>0,2	>0,5

Проведенные исследования показали, что стимуляция ацетилхолином гигантоклеточного ретикулярного ядра сопровождается отчетливыми изменениями эффеरентной активности в постганглионарных волокнах почечного и селезеночного нервов, синхронными сдвигами САД. Это позволяет говорить о причастности ядра к системе центральной регуляции деятельности кровообращения, поскольку регистрируемые изменения активности в симпатических нервах способствуют формированию общей гемодинамической реакции.

При незначительных количественных различиях направленность изменений активности в почечном и селезеночном нервах была одинакова (рис. 4).

Неоднозначность изменений САД и эффеरентной импульсной активности в исследованных нервах при стимуляции различных участков

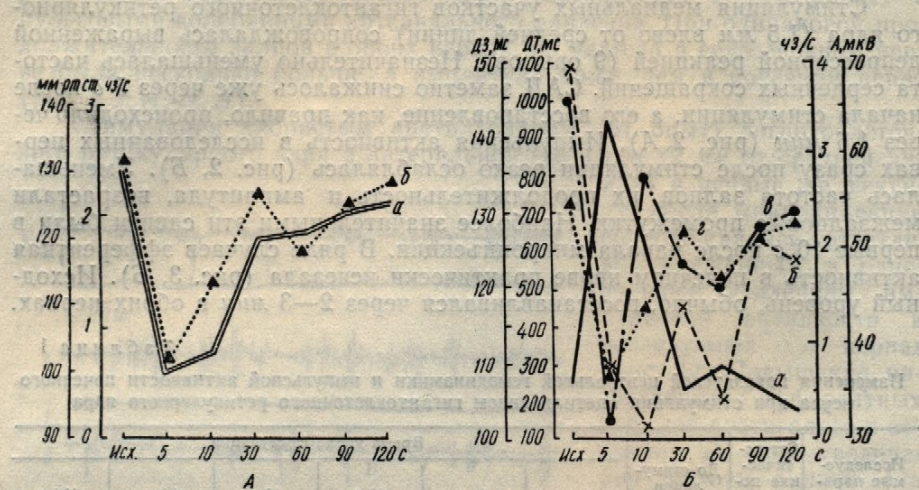


Рис. 2. Уменьшение САД и эффеरентной активности в почечном нерве при стимуляции ацетилхолином гигантоклеточного ретикулярного ядра.

А: а — САД (мм рт. ст.), б — частота залпов (чз/с); Б: а — длительность торможения (ДТ, мс), б — длительность залпов (ДЗ, мс), в — амплитуда (А, мкВ), г — частота залпов (чз/с).

Таблица 2

Изменения показателей центральной гемодинамики и импульсной активности селезеночного нерва при стимуляции ацетилхолином гигантоклеточного ретикулярного ядра

Исследуемые параметры	Статистические показатели	До стимуляции	Время после стимуляции					
			5 с	10 с	30 с	60 с	90 с	120 с
САД, мм рт. ст.	<i>M</i>	106,0	120,0	118,0	101,0	99,0	101,0	104,0
	$\pm m$	$\pm 4,52$	$\pm 4,47$	$\pm 4,06$	$\pm 7,89$	$\pm 7,28$	$\pm 15,67$	$\pm 15,61$
	<i>p</i>			$<0,05$	$<0,05$	$>0,5$	$>0,5$	$>0,5$
ЧСС, уд/мин	<i>M</i>	185	185	183	181	187	184	185
	$\pm m$	$\pm 6,31$	$\pm 7,29$	$\pm 7,32$	$\pm 7,95$	$\pm 7,86$	$\pm 1,5$	$\pm 1,5$
	<i>p</i>			$>0,5$	$>0,5$	$>0,5$	$>0,5$	$>0,5$
Частота залпов, в с	<i>M</i>	2,8	4,1	4,2	4,2	3,9	3,5	3,6
	$\pm m$	$\pm 0,13$	$\pm 0,2$	$\pm 0,36$	$\pm 0,15$	$\pm 0,22$	$\pm 0,13$	$\pm 0,12$
	<i>p</i>			$<0,001$	$<0,001$	$<0,001$	$<0,01$	$<0,02$
Амплитуда, мкВ	<i>M</i>	62,1	70,0	63,0	63,0	62,0	64,0	63,0
	$\pm m$	$\pm 2,96$	$\pm 3,14$	$\pm 2,17$	$\pm 1,85$	$\pm 3,13$	$\pm 5,21$	$\pm 7,01$
	<i>p</i>			$>0,1$	$>0,5$	$>0,5$	$>0,5$	$>0,5$
Длительность залпов, мс	<i>M</i>	167,5	190,5	180,3	162,1	182,5	199,5	193,7
	$\pm m$	$\pm 8,3$	$\pm 14,7$	$\pm 16,6$	$\pm 6,7$	$\pm 9,2$	$\pm 5,1$	$\pm 10,0$
	<i>p</i>			$>0,2$	$>0,5$	$>0,5$	$<0,001$	$<0,01$
Длительность торможения, мс	<i>M</i>	191,8	56,5	57,6	69,8	71,5	84,1	81,5
	$\pm m$	$\pm 20,2$	$\pm 7,2$	$\pm 7,7$	$\pm 7,7$	$\pm 15,8$	$\pm 13,8$	$\pm 14,6$
	<i>p</i>			$<0,001$	$<0,001$	$<0,001$	$<0,01$	$<0,02$

## Об изменениях симпатической

гигантоклеточного ретикулярного ядра может служить свидетельством влияний с этого ядра на симпатическую систему. Данные согласуются с однородностью гигантоклеточного ретикулярного ядра.

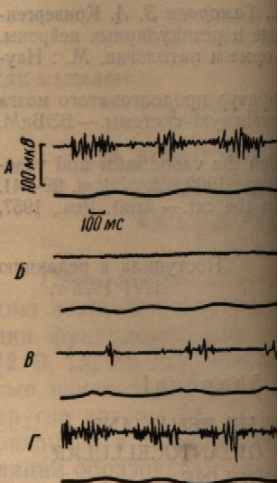


Рис. 3. Прекращение активности в почечном нерве.

А — до стимуляции, Б — через 5 с, В — через 10 с, Г — через 120 с.

Рис. 4. Сравнительные характеристики торможения (Б) в почечном нерве (сплошная линия) при стимуляции ацетилхолином гигантоклеточного ретикулярного ядра.

менений САД и кровотока в почке под влиянием симпатических влияний с этого ядра.

Можно думать, что эти изменения принимают участие в регуляции кровотока в почке под влиянием симпатических влияний с этого ядра.

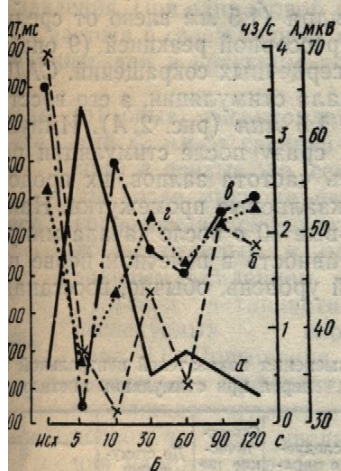
Сопоставление изменений САД и кровотока в почке под влиянием ацетилхолина и симпатических влияний с этого ядра показало отсутствие различий в амplitude и продолжительности торможения.

1. Вальдман А. В., Ковалев А. И. Изменение тонуса бульбарного вазомоторного центра при стимуляции ацетилхолином гигантоклеточного ретикулярного ядра. Известия АН СССР, Серия физическая, 1969, № 10, с. 2152—2156.

2. Вышатина А. И. Изменение тонуса бульбарного вазомоторного центра при стимуляции ацетилхолином гигантоклеточного ретикулярного ядра. Известия АН СССР, Серия физическая, 1970, № 10, с. 2202—2206.

3. Евдокимов И. Р., Базилюк О. В., Шаповал Д. И. Стимуляция ацетилхолином гигантоклеточного ретикулярного ядра и его влияние на симпатическую регуляцию кровообращения в почке. Известия АН СССР, Серия физическая, 1971, № 10, с. 2202—2206.

штейн, О. В. Базилюк, Д. И. Шаповал



ти в почечном нерве при стимуляции ретикулярного ядра.

$a$  — длительность торможения (ДТ, мс),  
 $A$ , мкВ),  $\varepsilon$  — частота залпов (ч/с).

Таблица 2

## Мики и импульсной активности холином гигантоклеточного тра

Число импульсов в единицу времени			
30 с	60 с	90 с	120 с
01,0	99,0	101,0	104,0
±7,89	±7,28	±15,67	±15,61
>0,5	>0,5	>0,5	>0,5
181	187	184	185
±7,95	±7,86	±1,5	±1,5
>0,5	>0,5	>0,5	>0,5
4,2	3,9	3,5	3,6
±0,15	±0,22	±0,13	±0,12
<0,001	<0,01	<0,02	<0,01
63,0	62,0	64,0	63,0
±1,85	±3,13	±5,21	±7,01
>0,5	>0,5	>0,5	>0,5
62,1	182,5	199,5	193,7
±6,7	±9,2	±5,1	±10,0
>0,5	>0,1	<0,001	<0,01
69,8	71,5	84,1	81,5
±7,7	±15,8	±13,8	±14,6
<0,001	<0,001	<0,01	<0,02

гигантоклеточного ретикулярного ядра в сходных условиях стимуляции может служить свидетельством существования возбуждающих и тормозных влияний с этого ядра на систему кровообращения. Полученные нами данные согласуются с предположением [2, 4] о функциональной неоднородности гигантоклеточного ретикулярного ядра, на основании из-

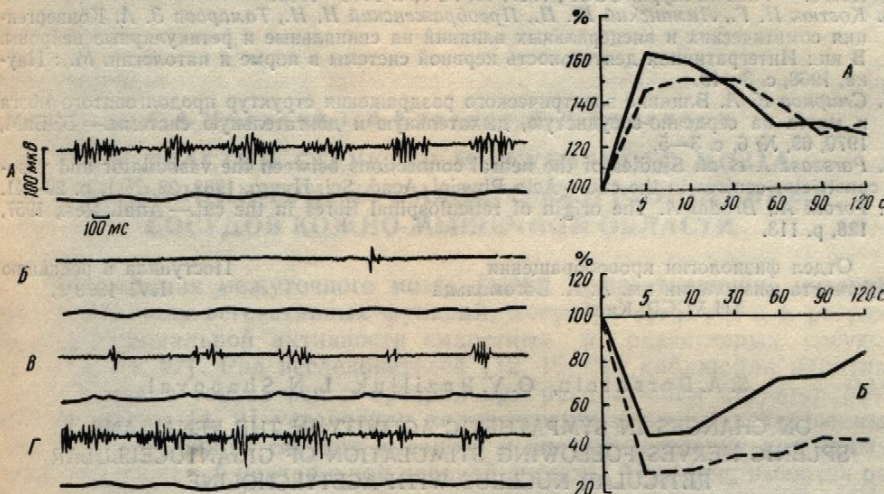


Рис. 3. Прекращение активности в почечном нерве при стимуляции ацетилхолином гигантоклеточного ретикулярного ядра.

*A* — до стимуляции, *B* — через 5 с, *C* — через 30 с, *Г* — через 2 мин после начала стимуляции. Вверху — нейрограмма, внизу — САД.

Рис. 4. Сравнительные характеристики изменений частоты залпов (*A*) и длительности торможения (*B*) в почечном (сплошная линия) и селезеночном нервах (пунктирная линия) при стимуляции ацетилхолином гигантоклеточного ретикулярного ядра.

менений САД и кровотока к различным органам. Показаны также тормозные влияния с этого ядра на мотонейроны поясничного отдела спинного мозга [5, 6].

Можно думать, что нейроны гигантоклеточного ретикулярного ядра принимают участие в регуляции сосудистого тонуса, не оказывая существенного влияния на сердечную деятельность, поскольку изменения ЧСС вследствие стимуляции этого ядра были статистически недостоверными.

Сопоставление изменений САД и эффеरентной активности в почечном и селезеночном нервах при электрической стимуляции и микроинъекционном введении ацетилхолина в гигантоклеточное ретикулярное ядро [3] показало отсутствие существенных различий в направленности и выраженности этих изменений.

## *Литература*

1. Вальдман А. В., Ковалев Г. В. О фрагментарной морфо-функциональной организации бульбарного вазомоторного центра.—БЭБиМ, 1970, 69, № 4, с. 15—21.
  2. Выштина А. И. Изменения регионального кровотока при электрической стимуляции ретикулярных сосудо-двигательных образований продолговатого мозга.—Физиол. журн. СССР, 1970, 56, № 5, с. 733—741.
  3. Евдокимов И. Р., Базилюк О. В., Шаповал Л. Н. Влияние электрической стимуляции гигантоклеточного ретикулярного ядра на эfferентную импульсацию в постгангионарных симпатических волокнах почечного нерва.—В кн.: Современные проблемы регуляции кровообращения. К.: Наукова думка, 1976, с. 78—83.

4. Ковалев Г. В., Бондарев М. Г. Об участии ретикулярных образований моста и продолговатого мозга в вазомоторной регуляции.—Физиол. журн. СССР, 1962, 48, № 9, с. 1017—1124.
  5. Костюк П. Г., Преображенский И. Н. Особенности торможения полисинаптических рефлекторных реакций при раздражении ретикулярной формации продолговатого мозга.—Физиол. журн. СССР, 1967, 53, № 9, с. 1048—1053.
  6. Костюк П. Г., Лиманский Ю. П., Преображенский И. Н., Тамарова З. А. Конвергенция соматических и висцеральных влияний на спинальные и ретикулярные нейроны. В кн.: Интегративная деятельность нервной системы в норме и патологии. М.: Наука, 1968, с. 3—19.
  7. Смирнов К. А. Влияние электрического раздражения структур продолговатого мозга и моста на сердечно-сосудистую, дыхательную и двигательную системы.—БЭБиМ, 1970, 69, № 6, с. 3—5.
  8. Porszassz J. et al. Studies of the neural connections between the vasodilator and vasoconstrictor centres in the cat.—Acta Physiol. Acad. Sci. Hung., 1962, 22, N 1, p. 29—41.
  9. Torvik A., Brodal A. The origin of reticulospinal fibres in the cat.—Anat. Res., 1957, 128, p. 113.

Отдел физиологии кровообращения  
Института физиологии им. А. А. Богомольца  
АН УССР, Киев

Поступила в редакцию  
1 VI 1978 г.

S. A. Bershtein, O. V. Baziliuk, I. N. Shapoval

ON CHANGES IN SYMPATHETIC ACTIVITY IN THE RENAL AND  
SPLENIC NERVES FOLLOWING STIMULATION OF GIGANTOCELLULAR  
RETICULAR NUCLEUS WITH ACETYLCHOLINE

## Summary

Acute experiments on cats show that acetylcholine administered microinjectionally to the gigantocellular reticular nucleus produces significant and unequal changes in both the systemic blood pressure and activity in postganglionic vasomotor fibres of the renal and splenic nerves. The data obtained may evidence for the existence of the excitatory and inhibitory influences from this nucleus to the circulatory system.

The neurons of gigantocellular reticular nucleus appear not to influence significantly the cardiac activity and mainly take part in the circulatory control.

Department of Circulation Physiology,  
A. A. Bogomoletz Institute of Physiology,  
Academy of Sciences, Ukrainian SSR, Kiev

ФИЗИОЛОГИЧЕСКИЙ ЖУР

УПК 612.822.8-612.181

С. А. Никит

# ОБ УЧАСТИИ В РЕГУЛЯЦИИ ТОКА СОСУДОВ

Образования между цио важнейших вегетации функциональной а [2, 3, 15, 24, 27]. Ряд вные изменения тонуса другие авторы [4, 9] у различия в реакциях соляции образований цент боты, в которых прямо акции резистивных и ем [3, 11, 19, 25]. Однако ществляющих дифферен туса резистивных и емк крытым и требует даль методических подходов.

Мы изучали роль в по емкостным и резистив

В острых опытах на 25 хлоралозы (50 мг/кг) и нем в венозных и артериальных кающие при стимуляции нервического аппарата СЭЖ, лаковой изоляцией, закрепление электродов 0,5 мм. Раздражение импульсов в течение 10; 20; 40; 60 и 100 имп/с вводили два-три электрода.

вводили два-три электрода. В первой серии опытов энцефалографе ЭЭГП-4-02 рециркуляционный кровоток в каудале по Мелландеру. Реографические изображения выполнены из алюминия в виде крючка. Изоляция у электродов отсутствовала. Электроды вену ниже отхождения полости закрывали. Расчеты дифракции [10]. Изменения после раздражения образованы в процентах по отношению к 100%.

Во второй серии опытов ные с помощью описанной кровотока в аорте и каудал